

京都大学 工学部

京都大学 工学部

正員 沢津家久

正員 中川 博次

1. まえがき

壁面を通して流体の吹出し(injection)や逆に吸込み(suction)を行って壁面上の乱流を好ましい姿に制御しようとする基礎的・応用的研究が境界層流や管路流を対象にして戦後精力的に行われて来た。このような乱流制御の研究は開水路流でも今後重要な課題と考えられ、著者らは多孔質滑面水路底から水流の吹出しや吸込みを一様に与えて、開水路の乱流構造がいかなる変化を受けるか系統的に研究して来た。¹⁾

本報は、これまで得られた実験結果を総括し、その平均流速分布則を統一的に説明するとともに過大な吸込み率で生じる再層流化現象への遷移挙動に関して検討しようとするものである。

2. 理論的考察

表面 $y=0$ からの流出入速度 v_0 を考慮した2次元開水路乱流のせん断应力 $\tau^+ = \tau/\rho U_*^2$ は次式で与えられる。¹⁾

$$\tau^+ = \frac{\overline{Uy}}{U_*^2} + \frac{\partial U^+}{\partial y^+} = \left(1 - \frac{y^+}{R_*}\right) + v_0^+ \left(U^+ - \frac{y^+}{R_*} \cdot U_{max}^+\right) + \bar{\Psi}(y^+) \quad (1)$$

$$\bar{\Psi}(y^+) = \frac{1}{\left(1 - \int_0^{y^+} \Omega d\xi\right)} \left\{ \left(1 - \frac{1}{\Omega}\right) + \frac{v_0^+ U_{max}^+}{\int_0^{y^+} \Omega d\xi} \right\} \left\{ \int_0^{y^+} \Omega^2 d\xi - \int_0^{y^+} \Omega^2 d\xi \right\} - \frac{v_0^+ U_{max}^+}{\int_0^{y^+} \Omega d\xi} \left\{ 2 \int_0^{y^+} \Omega d\xi - \int_0^{y^+} \Omega^2 d\xi \right\} \quad (2)$$

ここで、 $y^+ = y/U_*$, $\Omega = y/R_*$, $U^+ = U/U_{max}$, $v_0^+ = v_0/U_*$ などであり、+添字は壁面領域 ($y^+ \leq 100$) の特性スケール (U/U_* , U_{max}) による無次元化を表わす¹⁾、また $\Omega = \tau/\tau_0|_{y=0} = (U_*/U_{x0})^2$ であり、0添字は $v_0=0$ の値を示す。式(1)の第2項は流出入による附加应力を、 $\bar{\Psi}(y^+)$ は移流項をそれぞれ表わしている。いま、十分に発達した乱流で有効な混合距離理論 $-uv/U_*^2 = l^+ (dU^+/dy^+)^2$ を用い、 l^+ として van Driest の damping 因数を使うと、

$$\frac{dU^+}{dy^+} = \frac{2\tau^+}{1 + \sqrt{1 + 4l^+^2\tau^+}} \quad (3) \quad l^+ \equiv K_0 y^+ \left\{ 1 - \exp(-y^+/A^+) \right\} \quad (4)$$

K_0 はカルマン定数であり、流出入 v_0 が存在しても 0.4 の普通定数をとることが一般に認められていて²⁾、buffer 層以上の壁面領域では式(1)は $\tau^+ = 1 + v_0^+ U^+$ 、式(4)は $l^+ = K_0 y^+ \gg 1$ と近似でき、式(3)を積分して次の二乗対数則を得る。 $\phi \equiv \frac{2}{v_0^+} \left(\sqrt{v_0^+ U^+ + 1} - 1 \right) = \frac{1}{K_0} \ln y^+ + D \quad (5)$

ところで、過大な吸込みで再層流化現象に、吹出しで剥離現象にそれぞれ遷移するから¹⁾、粘性の効き具合を表わす係数 A^+ は y^+ の実数と考えられ、式(3)の数値解が壁面領域端端 $y^+ = 100$ で式(5)に一致するように A^+ を決定すれば、普通的な壁法則が得られる。

3. 摩擦速度 u_* の評価と平均流速分布形

乱流構造を解明するには u_* の正確な評価が不可欠である。

式(1)にはじが含まれているから、 $-\overline{uv}$ を実測しても乱れの self-consistency から u_* を評価できず³⁾、 $v_0=0$ の Prandtl-Karman の方法と同様にして式(5)の積分法から $\Omega = (U_*/u_*)^2$ と $\beta = v_0/U_{x0}$ の実係式をまず計算し、次に乱れの self-consistency から評価された u_* を使って³⁾ $\Omega-\beta$ 曲線から u_* が評価された。 u_* の計測には一成分熱膜流速計が使われ、最低 $y=0.7mm$ まで計測できた。図1は、吹出し流で得られた流速分布の実測値であり、実線は式(3)の数値解である。壁面領域はもちろんのこと、自由水面にまで至る全領域

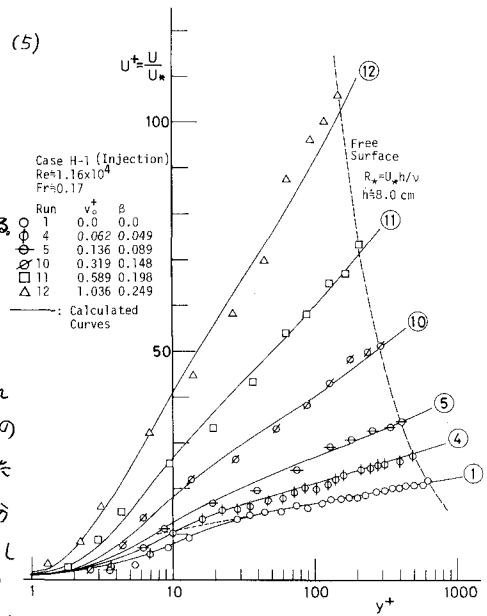


図1 吹出し流での平均流速分布

で両者の一致是非常によい。剝離現象へ遷移する $y^+ \approx 1$ という過大な吹出し率 v_0^+ も式(3)は有効であり、十分に発達した乱流が形成されていることがわかる。次に、図・2は吸込み流の平均流速分布を示す。 $v_0^+ \approx -0.085$ 程度までの比較的小さな吸込み率では式(3)は依然有効であるが、これ以上上の吸込み率では実験値との一致は悪く、もはや乱流状態を維持できず、再層流化に移行したものと考えられる。乱流状態では混合距離理論が有効となるが、 U_* の評価に式(5)が使われたため、この明白な結論付けには U_* を式(5)とは独立に評価すべきである。図・3は、多孔質水路区间での水面形 h を $h_0=0$ との水面形 h との差 Δh で示し、太い実線は式(1)と同等な $\frac{\partial \Delta h}{\partial x} = -\left(\frac{U_*^2}{gh}\right)\left(1 - \int_0^{y^+} \frac{dy}{h}\right)^{-1} \left\{ \left(1 - \frac{1}{R_*}\right) + \int_0^{y^+} \frac{dy}{h} / \int_0^{y^+} \frac{dy}{h^2} U_*^2 \right\}$ を使い、式(5)からの U_* を代入して求めた計算値である。両者の一致はかなりよい。すなわち、実測の Δh から U_* を独立に評価するには誤差が大きいが、図・3は前述の $\Omega-\beta$ 曲線からの評価が妥当なことを示している。

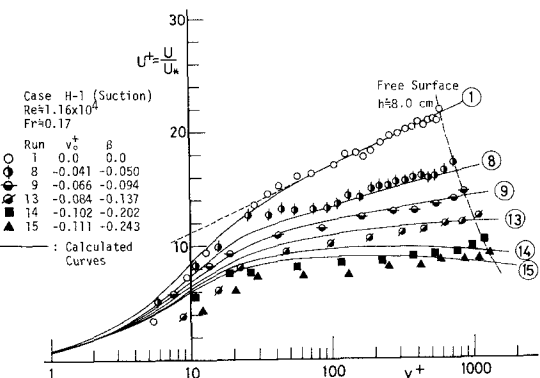
4. 再層流化遷移挙動

著者らはこれまでの流れ計測の結果、吹出しで乱れは促進されるが、吸込みでは抑制されて次第にせん断乱流の特性を失うことを明らかにし、¹⁾前節の平均流速分布にもこの特性は如実に現われた。このような再層流化現象は加速流を伴う境界層流や管路流でも観測され、²⁾不浸透床($h_0=0$)を含めた各種の流れに亘して統一ある説明が望まれる。Huffmanらは、壁面流出入や圧力勾配などの外部因子はせん断応力勾配 $\frac{\partial \tau}{\partial y}$ を介して壁面領域(内部層)に影響を及ぼすことを指摘した。³⁾いま、彼らと同様にして壁面領域端 $\delta^+=100$ までのせん断応力の平均勾配を $\langle \frac{\partial \tau}{\partial y} \rangle$ とすれば、式(1)より次式のようになる。

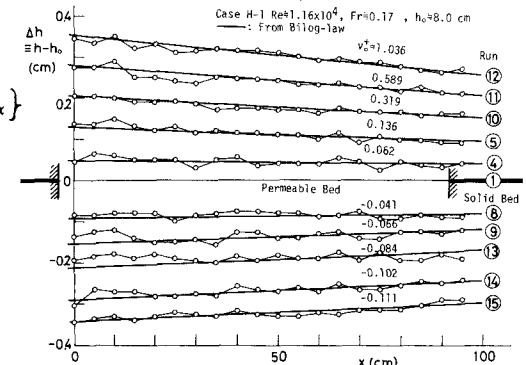
$$-\langle \frac{\partial \tau}{\partial y^+} \rangle = -\frac{v_0^+ U^+(d^+)}{f^+} + \frac{1 + v_0^+ U_{max}^+}{R_*} - \frac{\Psi(d^+)}{\delta^+} \quad (6)$$

図・4は式(6)の各項を計算したもののである。 $-\langle \frac{\partial \tau}{\partial y^+} \rangle$ は $-v_0^+$ とともに単調に増加するが、 $v_0^+ \approx -0.085$ でピークに達し、その後急減し、再び急増する。これは、図・2に見られたように式(3)の数値解 $U(y^+)$ が $0 < y^+ < R_*$ 間に最大値をもち、補正項である $\Psi(d^+)$ が過大に計算されるためである。したがって、このピーク値を再層流化遷移の限界値と見立ててもよく、 $-\langle \frac{\partial \tau}{\partial y^+} \rangle \approx 0.008$ となる。図・5に、 $-\langle \frac{\partial \tau}{\partial y^+} \rangle$ に対する A^+ を各種の流れに亘して図示したが、この遷移限界で A^+ は急増し、粘性の作用が増大することがわかる。

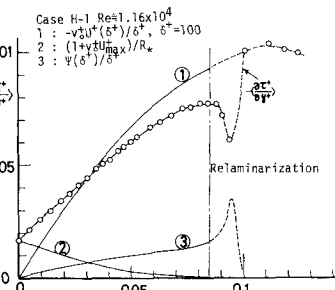
[参考文献] 1) 祐津, 京大学術論文, 1977



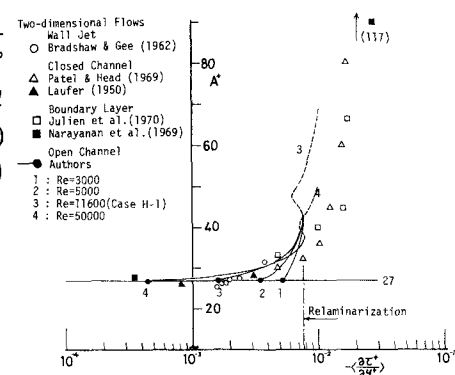
図・2 吸込み流の平均流速分布



図・3 吹出しおよび吸込み流の水面形



図・4 せん断応力の平均勾配特性



図・5 各種の流れにおける再層流化

2) Huffman S, JFM, vol. 53, 1972, 3) 祐津, 論文集, 26号, 1977, 4) Patel S, JFM, vol. 34, 1968.